

III-157 Remote Sensing法による斜面災害の要因分類の研究
—広島県 休山の場合—

広島大学 工学部 正員 網干 寿夫
呉工業高等専門学校 正員 ○川堀 慎久

§1はじめに

瀬戸内海沿岸に広がる風化花崗岩いわゆるまさ土における斜面災害は毎年のように多数発生している。広島県吳市休山周辺は昭和42年7月及び昭和47年7月にかなり大規模な集中豪雨に見舞われ各所で地すべり、かげくずれ等が発生し多大な被害を被った。今回は各種の調査に利用が見られる一連のRemote Sensing法を用い航空機MSSデータより得られる分類図等を検討し崩壊要因の分類と試みるものである。ここで述べる調査対象地域はFig.1のように休山(標高502m)を含む半島部でかつ過去の災害頻度の高い、た大入地区を選んだ。資料として文部省科研より得た空中写真撮影高度1400m、縮尺1:6000, S.55年3月11日撮影、使用カメラRMK-A・15/23を6枚。一方MSSデータは日本国土地理学総合監査技術委員会発行で使用スキャナーはMSS-BG-1A(ジルコ)、使用高度10000m、S.55年9月16日計測、チャンネル数6(4.5, 6, 7, 9, 11ch)である。現地踏査は翌日の17日に行なった。

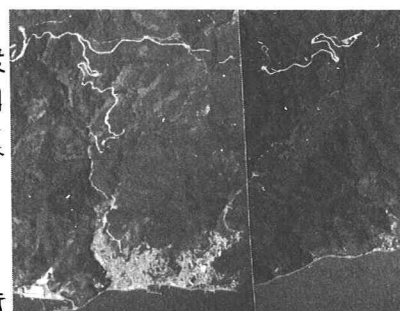


Fig. 2 Aerial Photographs (Daimiyu Area)

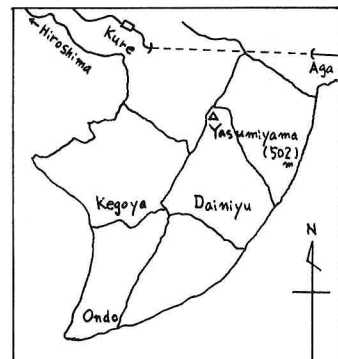


Fig. 1 Yasumiyama, Hiroshima Pref.

§2グレーマップによる要因分類

航空機MSSにより得られた磁気テープのアナログデータは磁気テープ CCT のデジタルデータに変換されデータの検査を行う。その後ディスクパックデータ作成により、MT, LPあるいはディスク格納する。直接グレーマップとして書き出す場合もある。このようにして得たものがFig.3とFig.4である。Fig.3は9チャンネルのグレーマップで赤外域の分布を示すもので主として植生の分類として見る事が出来る。高濃度域は高木常緑樹林帯又一部混生樹林帯で左上斜面から中央下右谷川の右斜面に分布が見られ樹種は赤マツである。中濃度域は低木草類、混生樹林帯で、中・低濃度域は背日斜面の陰影、無木草地、荒地を示している。低濃度域は枯木、腐食林、畠地、耕地等である。

Fig.4は11チャンネルの熱赤外(温度)分布にあたるもので高温域は山頂部、山道、住居地域で中温域は特に山岳道が明確で河床の露岩域で岩類の分類も可能である。平野部にも分布が見り

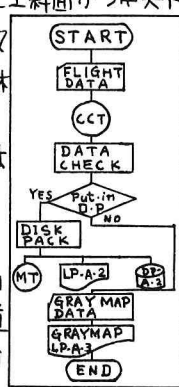


Fig. 4-1 Flow Chart

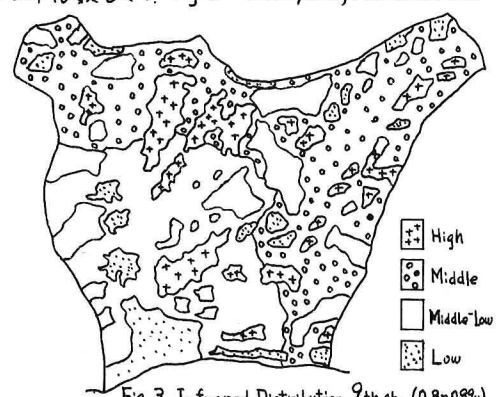


Fig. 3 Infrared Distribution, 9th ch. (0.8-0.89μ)

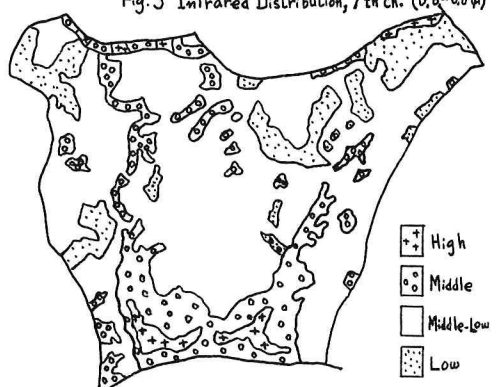


Fig. 4 Thermal Distribution, 11th ch. (8.0-12.5μ)

れる。低温域は常緑樹林等の植生の分布である。

3 線形判別分類による要因分類

3.1 教師なし分類図 MSSデータのうち分析領域を指定してディスクライナリーグリッドを設定するここでは大入地区を分析領域としてライン271~2750,カラム171~683をとった。この領域全体から256(標準値)のサンプルを抽出してクラスター分析にかけたところ、全領域を20クラス(標準値)に分類した。クラスター分析の手法はワード法を用いた。分類結果としてFig. 5を得た。

3.2 教師付き分類図 上記の教師なし分類図より教師となるトレーニングエリアを16箇所を抽出し書き出を行った。分類結果の識別効率は81.85%である評価されるが分類図の利用が困難であったため8クラスに整理統合した。8クラスの分類図がFig. 6である。

3.3 分類手法 田集団 G_1, G_2 と各々正規田集団であり標本空間を分割する共通部分のない2つの領域 R_1, R_2 とする時

$$R_1 = \{x | x^T (\mu_1 - \mu_2) - \frac{1}{2}(\mu_1 + \mu_2)^T (\mu_1 - \mu_2) \geq \log k\}$$

$$R_2 = \{x | x^T (\mu_1 - \mu_2) - \frac{1}{2}(\mu_1 + \mu_2)^T (\mu_1 - \mu_2) < \log k\}$$

上式の x についての線形判別係数

$$z = x^T (\mu_1 - \mu_2) - \frac{1}{2}(\mu_1 + \mu_2)^T (\mu_1 - \mu_2)$$

誤判別の確率を求めるための確率分布を計算し各田集団に z が属するかとすると正規分布となる。 D^2 (マララビスの距離) = $(\mu_1 - \mu_2)^T (\mu_1 - \mu_2)$ を判別の良さの尺度とした。

3.4 分類結果 線形判別分類図をFig. 7に示す。8クラスは山岳道路、住居地域の表示をしている。

6クラスは植生の中で落葉樹・低木類で5クラスは混合樹林・低木類である事が空中写真等より判断できる。4クラスは針葉樹等常緑樹種を表している。7クラスは土地利用上の耕地・裸地又削壠地を示している。

4まとめ

MSSデータの分析より斜面災害要因の分類を試みたが、レーマップの温度分布より土地利用、岩類分布の可能性、赤外分布、線形判別分類より植生要因等一応の評価を得た。斜面勾配等については今後の課題となる。尚本研究費の一部は5.5年度文部省科学研究費(代表細干寿夫)、(財)農業研究助成費を得た事を記して深謝する。解析には京都大学大型計算機センタ- FACOM-M-190を使用し解析した。

参考文献 1) R.L.Schuster: Landslides in Field Reconnaissance Techniques, Transportation Research Board, Special Report 176, 1978. 2) T. Maruyasu; Statistical Analysis of Landslides and Related Phenomena on Aerial Photographs, Aerial Photographs Survey, 1968 (3) 細干、小堀; 空中写真による山腹斜面崩壊と地形地質、植生の関係、広島県休山の場合、自然災害資料解説 7, 1980. (4) 井岡、鳥井他; PARS の概要(5)、京都大学大型計算機センタ-広報 Vol. 13, No. 3, 1980.

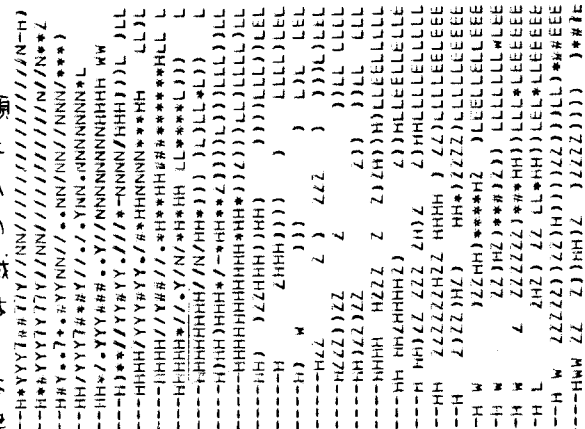


Fig. 5 Cluster Analysis (20 Classified)

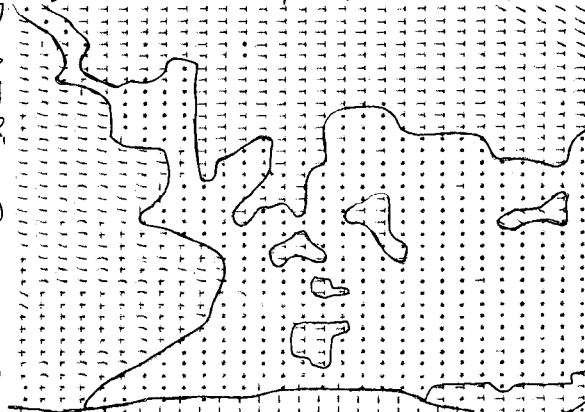


Fig. 6 Classification Map By The Linear Discriminant Function (I)



Fig. 7 Classification Map By The Linear Discriminant Function (II)